

KAWASAKI STEEL GIHO
Vol.14 (1982) No.1

LNG 9 Ni

Production of 9% Ni Steel Plates for Liquefied Natural Gas Tankage

(Shigeharu Suzuki) (Yoshifumi Nakano) (Keisuke
Hirose) (Taketo Okumura) (Hiroshi Nishikawa)
(Mineo Sato)

LNG タンク用 9%Ni 鋼板の製造

Production of 9% Ni Steel Plates for Liquefied Natural Gas Tankage

廣瀬圭介***
Keisuke Hirose

奥村健人****
Taketo Okumura

西川廣*****
Hiroshi Nishikawa

佐藤峯夫*****
Mineo Sato

Synopsis:

Along with the continuous increase in the size of LNG tanks, high toughness at low temperatures has been required of the main structural steels or 9% Ni steels in order to ensure the safety of tanks. Kawasaki Steel has successfully improved the products of 9% Ni steels with respect to fracture toughness at low temperatures and supplied 3000 tons of steel plates for the 80000cbm LNG tanks at Chita LNG Receiving Terminal.

種特性について述べる。

2.1 化学成分

の規格があるが、もっとも一般的な ASTM 規格、

につれて延性破面が100%となる焼もどし温度範囲が広がるとともに、その温度における吸収エネ

30

Thermal cycle condition : $T_{max} = 1350^{\circ}\text{C}$
 $T_{800-500} = 30\text{s}$
SR condition : $570^{\circ}\text{C} \times 2\text{h}$

での限界 COD 値 (δ_C) におよぼす S 含有量の影響を示す。この S 量の範囲ではシャルピー試験片は 100% 破壊せざるを得ない。

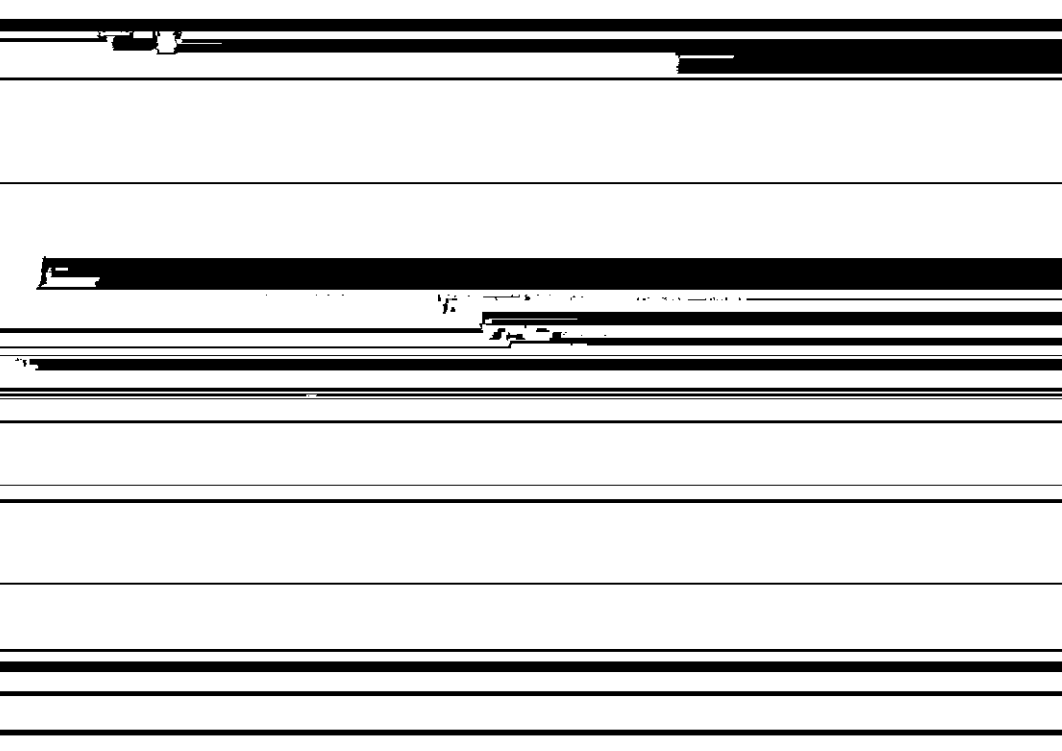
微粉状の生石灰、螢石を O_2 とともに吹き込み数分間の処理をすると、C量は 3.7~4.0%と高い状態

重が最大になる迄脆性き裂の発生は認められず、

できる。LD 転炉による最終精錬における出鋼時

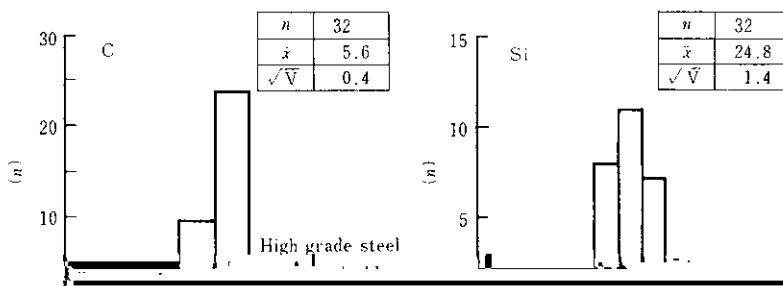
きる。

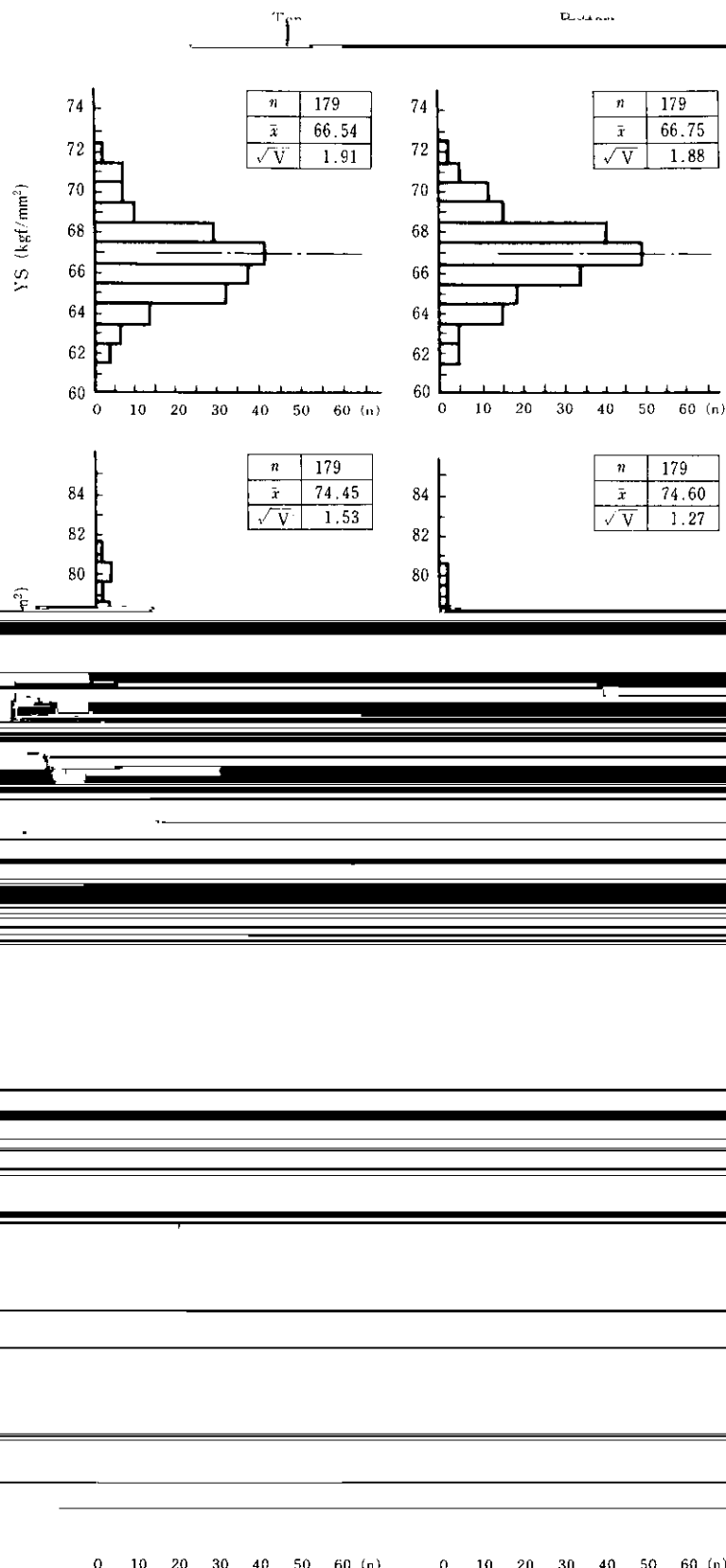
アーチラート板と一部の側板最下段に使用される鋼



150トン転が32チャージの化学分析結果をヒストグラムにより Fig. 10 に示す。低温靶性を向上させるため、C量を0.05~0.06%と狭い範囲に保ち、P, S含有量を低くしている。図中の斜線部分は

特別の注意を払った結果、P含有量は0.004%以下、S含有量は0.001%と非常に低いレベルに抑えられている。



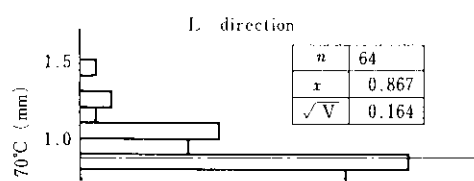


L direction

| | |
|-----------|-------|
| n | 137 |
| \bar{x} | 25.31 |

C direction

| | |
|-----------|-------|
| n | 179 |
| \bar{x} | 23.92 |



ヤルピー試験結果を示す。

溶接継手強度は室温で母材規格値を満足しており、衝撃試験における吸収エネルギーおよび横膨出量はノッチ位置にかかわらず母材の規格値を十分満足とか、母材に5%予ひずみを付加した溶接

Table 3 Welding conditions

| Thick. mm | Welding method | Groove dimensions | Welding conditions | | | | | |
|--------------|----------------|-------------------|--------------------|-----------------|--------------|----------------------------|---------------------------|------------------------------|
| | | | Current A | Electrode mm | Voltage V | Electrode angle deg. | Electrode tilt deg. | Electrode travel mm/mm |

Table 6 V-notch Charpy test results at -196°C of weld joints of 30mm thick plate

Notch tip located at
the toe of SAW joint

Welding Notch position Absorbed Shear Lateral

Table 7 COD test results at -170°C of weld joint of 30mm thick plate

に対する拘束度の違いにより、溶接継手について
は拘束条件の違いの他に、母材に比較して軟い溶

力の作用による欠陥の成長を考慮したときの許容
される初期欠陥の大きさを検討する。今、初期貫

じず、たとえ何らかの原因で長大きな裂が発生したと仮定しても、供試鋼板は十分大きな、脆性き裂

ができた。また、この鋼板について各種の溶接継手性能試験、破壊靱性試験を実施し LNG タン

ク用 9% Ni 鋼板の特性とその評議会

ク用 9% Ni 鋼板の特性とその評議会

5. 結 言

LNG タンクに使用される 9% Ni 鋼に対しては
優れた低温靱性が要求される。並行して前項

今後、9% Ni 鋼板の使用量は増大を続けると
みられるが、当社の鋼板はその優れた特性により
十分需要家各位の御要望にお応えできるものと確
信している。